

研究概要

意思決定モデル

進捗状況

結果

今後の予定

評価関数の推定

【タイトル仮】  
時系列データの汎化的予測モデル開発のための評価関数の推定

武藤 克弥 (Katsuya Mutoh)  
u255018@st.pu-toyama.ac.jp

富山県立大学 大学院 電子・情報工学専攻 情報基盤工学部門

November 14, 2023

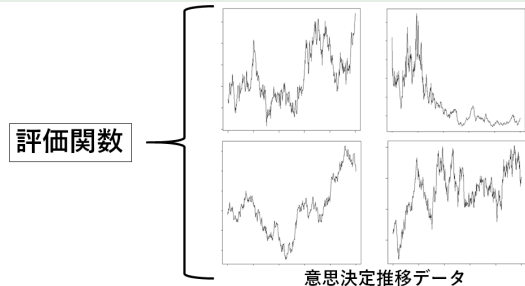
# 研究テーマについて

2/28

## 意思決定行動に関する評価関数の推定

### 研究の背景 (仮説)

様々な意思決定活動はある評価関数で説明できるのではないか?  
= 意思決定における行動はある評価関数をもとに決定される



### 研究の目的

意思決定によって形成される時系列データ (金融・不動産・建設事業など) に対し、その結果の原因となった評価関数を推定するモデルを開発する。

## 評価関数推定のメリット

- 従来予測におけるデメリットの脱却
  - 従来の時系列予測にある「データの過学習」「パラメータ推定」などを行う手間がない
- 多分野への汎用性
  - 従来は少し分野が変わるだけで応用しにくいものもある
  - 高速道路の利用需要が上昇 = 評価関数  $V$  を最適化  
→新商品の売上予測

## 研究の新規性

意思決定モデルの拡張  
→モデル(データ)に潜む評価関数を特定

## 研究の流れ

- ① 意思決定モデルの構築 ←現在取り組み中
- ② 評価関数の推定手法の導入

研究概要

意思決定モデル

進捗状況

結果

今後の予定

評価関数の推定

# 意思決定の枠組み

5/28

## 意思決定モデル<sup>1</sup>

- 時系列データに応じて、利益(価値)の高くなる戦略を選択する



P: 時刻  $t$  の状態 (価格や需要量)

確率微分方程式 (幾何ブラウン運動)

$$dP(t) = \alpha(t, P)dt + \sigma(t, P)dZ(t)$$

- $t \in [0, T]$ : 意思決定期間
- $\alpha(t, P) = \alpha P$
- $\sigma(t, P) = \sigma P$
- $\alpha$ : ドリフト係数 (期待収益率)
- $\sigma$ : 拡散係数 (ボラティリティ)
- $Z(t)$ : ノイズ (1次元 Wiener 過程)

【仮定】

いずれかの戦略(アクティビティ)を選択

例) 建物の運用(3種のアクティビティ)

- A: 運用継続  
S: 運用休止  
Q: 更地化(解体)

時刻  $t$  でどの戦略を取っているのが最適なのか?  
→最適値関数で評価

<sup>1</sup>長江, 赤松., 2004.

# アクティビティ価値の導出

6/28

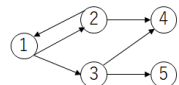
最適値関数:  $V(t, P, n) = V_n(t, P)$

- 各時間  $t \in [0, T]$  で全アクティビティの価値を計算  
→時間  $t$  でどの戦略を選べば最適か分かる

$V(t, P, n)$ : 時刻  $t$  におけるアクティビティ  $n$  の将来価値

→3要素で構成 (1) 利潤:  $\pi_n(t, P)$ , (2) 満期利潤, (3) 推移コスト:  $C_{n,m(t)}$

- $n \in \{1, 2, 3, 4, 5\}$ : アクティビティ
- $r$ : 割引率



# アクティビティ価値の導出

7/28

## アクティビティ価値の導出<sup>2</sup>

- 同時に全アクティビティ価値は求められない  
→グラフを分解して1つずつ求める

全アクティビティ導出手順  $V(t, P, n) = V_n(t, P)$

(1) 終端アクティビティの価値を求める

これ以上遷移しないアクティビティ = ④, ⑤

線形偏微分方程式

$$\mathcal{L}_{n'} V_{n'}(t, P) + \pi_{n'}(t, P) = 0 \quad \forall t \in [0, T]$$

終端条件:  $V_{n'}(T, P(T)) = F_{n'}(P(T))$

偏微分作用素:  $\mathcal{L}_n = \frac{\partial}{\partial t} + \frac{\partial}{\partial P} \alpha_n(t, P) + \frac{1}{2} \frac{\partial^2}{\partial P^2} \{\alpha_n(t, P)\}^2 - r$

(2) 推移先が "終端アクティビティのみ" のアクティビティの価値を求める

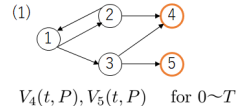
→④, ⑤をもとに③の価値を求められる

Fukushima型 merit関数による解の更新<sup>2</sup>

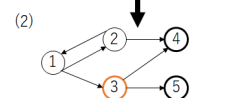
(3) サイクル構造内のアクティビティの価値を求める

→③, ④ (① ⇔ ②の推移先)をもとに①, ②の価値を計算

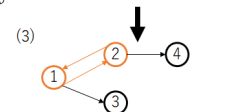
解の更新(2)と同様



$V_4(t, P), V_5(t, P)$  for  $0 \sim T$



$V_3(t, P) \leftarrow V_4(t, P), V_5(t, P)$  for  $0 \sim T$



$V_1(t, P) \leftarrow V_3(t, P), V_4(t, P)$  for  $0 \sim T$

# 現在の取り組み(概要)

8/28

## 意思決定モデルの再現<sup>3</sup>

- 有料道路の建設・運用事業における意思決定モデル

研究概要

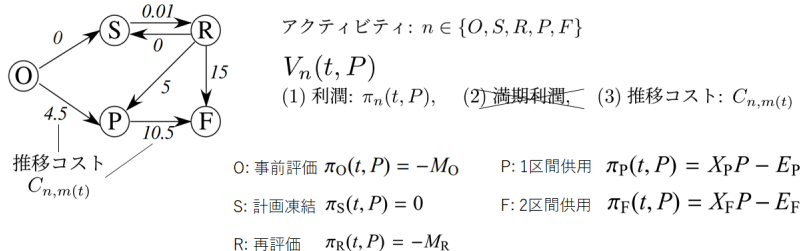
意思決定モデル

進捗状況

結果

今後の予定

評価関数の推定



$$T = 20, r = 5\%, \alpha = 1\%, \sigma = 40\%$$

$$M_O = 0.02, M_R = 0.01$$

$$X_P = 0.5, E_P = 0.6, X_F = 1, E_F = 1$$

<sup>3</sup>長江, 赤松., 2004.

# 現在の取り組み<sup>4</sup>

9/28

## 意思決定モデルの再現

- アルゴリズムをプログラム化し、同じ結果が得られるようにする

研究概要

意思決定モデル

進捗状況

結果

今後の予定

評価関数の推定

### (0) 時系列(シミュレーションデータ)の準備

幾何ブラウン運動(確率微分方程式)  
→株価変動モデルに使用

$$dP(t) = \alpha P(t)dt + \sigma P(t)dZ(t)$$

$t \in [0, 20]$ ,  $r = 5\%$ ,  $\alpha = 1\%$ ,  $\sigma = 40\%$

解析解

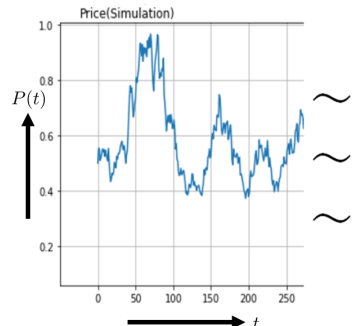
$$P(t) = P(0) \exp \left\{ \left( \alpha - \frac{1}{2} \sigma^2 \right) t + \sigma Z(t) \right\}$$

$Z(t)$ : ノイズ (1 次元 Wiener 過程)

$Z \sim N(0, 1)$ : 標準正規分布からの抽出

$\Delta T = 20/1000$ : 時間幅

$P(0) = 0.5$ : 初期需要



生成結果(URLのコード)

<sup>4</sup>Python でやってみた (Engineering) : モンテカルロ法,  
[https://note.com/kiyo\\_ai\\_note/n/nfbe4c3f97e19](https://note.com/kiyo_ai_note/n/nfbe4c3f97e19)

# 現在の取り組み

10/28

- 偏微分方程式を格子空間に差分(離散)化する

## (1) 終端"F"の価値の導出

線形偏微分方程式

$$\mathcal{L}_n V_n(t, P) + \pi_n(t, P) = 0$$

終端条件:  $V_{n'}(T, P(T)) = F_{n'}(P(T))$

$$\text{偏微分作用素: } \mathcal{L}_n = \frac{\partial}{\partial t} + \frac{\partial}{\partial P} \alpha_n(t, P) + \frac{1}{2} \frac{\partial^2}{\partial P^2} \{\sigma_n(t, P)\}^2 - r$$

偏微分方程式の差分化

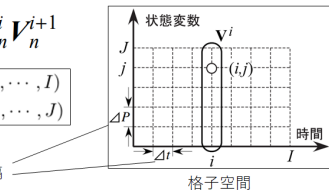
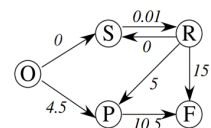
$$\mathcal{L}_n V_n(t^i, P^j) \approx \mathbf{L}_n^i V_n^i + \mathbf{M}_n^i V_n^{i+1}$$

$$(t, P) \simeq (t^i, P^j) = (i\Delta T, P_0 + j\Delta P) \quad \begin{cases} (i = 0, 1, \dots, I) \\ (j = 0, 1, \dots, J) \end{cases}$$

$$I = J = 1000$$

$$\Delta T = \frac{20}{1000}, \quad \Delta P = \frac{5}{1000} : \text{格子間隔}$$

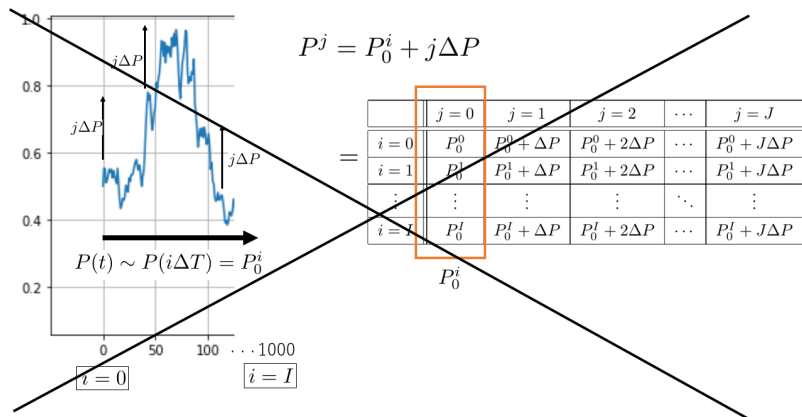
アクティビティ:  $n \in \{O, S, R, P, F\}$



## (1) 終端アクティビティ" F" の価値導出 (下準備)

11/28

- (0) で求めた  $P(t)$  を  $j$ (空間) 方向へ離散化



研究概要

意思決定モデル

進捗状況

結果

今後の予定

評価関数の推定

## (1) 終端アクティビティ" F" の価値導出 (下準備)

12/28

### 修正

- 「 $P^j$  が時間  $i$  に依存せず、一定で変化する」ものとした

$$(t^i, P^j) = (i\Delta T, P_{min} + j\Delta P)$$

$$(i = 0, 1, \dots, I), (j = 0, 1, \dots, J)$$

$$I = J = 400$$

$$\Delta T = \frac{T - 0}{400} = \frac{1}{20}$$

$$\Delta P = \frac{P_{J+1} - P_0}{400} = \frac{1}{50}$$

時間:  $t \in [0, T]$  ( $T = 20$ )

状態空間:  $[P_{min}, P_{max}] \in \mathcal{R}$

$$P_{min} = P_0 = 0$$

$$P_{max} = P_{J+1} = 8$$

**危惧 I**

境界値  $P_{max} = P_{J+1}$  にすることの理解  
 $\Delta P$  の設定方法

$$P^j = P_0 + j\Delta P$$

$P^j$	$j = 0$	$j = 1$	$j = 2$	$\dots$	$j = J$
$i = 0$ ⋮ $i = I$	$P_0$	$P_0 + \Delta P$	$P_0 + 2\Delta P$	$\dots$	$P_0 + J\Delta P$

研究概要

意思決定モデル

進捗状況

結果

今後の予定

評価関数の推定

## 修正

- $P^j$  の時間  $i$  を固定することで生じる危惧もある

$$P^j = P_0 + j\Delta P$$

$P^j$	$j = 0$	$j = 1$	$j = 2$	$\dots$	$j = J$
$i = 0$	$P_0$	$P_0 + \Delta P$	$P_0 + 2\Delta P$	$\dots$	$P_0 + J\Delta P$
$\vdots$					
$i = I$					

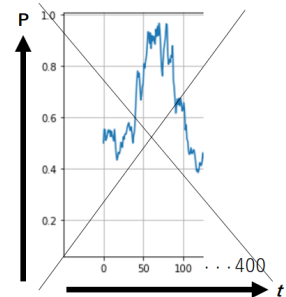
## 危惧 II

生成したデータを一切使っていない  
→ドリフト・拡散項だけ使った?

$$\alpha(t, P) = \alpha P \simeq \alpha(P_0 + j\Delta P)$$

$$\sigma(t, P) = \sigma P \simeq \sigma(P_0 + j\Delta P)$$

【論文】  $P$  が幾何ブラウン運動に従う  
 $dP(t) = \alpha(t, P)dt + \sigma(t, P)dZ(t)$



## (1) 終端アクティビティ" F" の価値導出 (下準備)

14/28

### 修正

- $\alpha, \sigma, \pi$  も時間  $i$  に依存しないと仮定

$$\alpha(t, P) = \alpha P$$

$\alpha P^j$	$j = 0$	$j = 1$	$j = 2$	$\cdots$	$j = J$
$i = 0$					
$\vdots$					
$i = I$	$\alpha P_0$	$\alpha(P_0 + \Delta P)$	$\alpha(P_0 + 2\Delta P)$	$\cdots$	$\alpha(P_0 + J\Delta P)$

$$\sigma(t, P) = \sigma P \simeq \sigma P^j \text{ (同様)}$$

( $J$  次元)

論文準拠

$$\pi_F(t, P) = P - 1$$

$$\simeq \boldsymbol{\pi}_F^i = \pi(t^i, P^j) = P^j - 1 =$$

$$\begin{bmatrix} \alpha P_0 - 1 \\ \alpha P_0 + \alpha \Delta P - 1 \\ \alpha P_0 + \alpha 2\Delta P - 1 \\ \vdots \\ \alpha P_0 + \alpha J\Delta P - 1 \end{bmatrix}$$

研究概要

意思決定モデル

進捗状況

結果

今後の予定

評価関数の推定

# (1) 終端アクティビティ "F" の価値導出 (本手順 前回)

- (前回) 論文の差分化方程式で  $V$  を求めると、振動発散していた

価値  $V$  を求める式 (終端アクティビティの場合)

$$\frac{\partial V(t, P)}{\partial t} + \alpha(t, P) \frac{\partial V(t, P)}{\partial P} + \frac{1}{2} \{\sigma(t, P)\}^2 \frac{\partial^2 V(t, P)}{\partial P^2} - rV(t, P) + \pi(t, P) = 0$$



差分化 (Crank-Nicolson法)

$$\begin{bmatrix} b_1^i & c_1^i & 0 & 0 & \cdots & 0 \\ a_2^i & b_2^i & c_2^i & 0 & \cdots & 0 \\ 0 & a_3^i & b_{i3} & c_3^i & \cdots & 0 \\ \vdots & \vdots & \vdots & \vdots & \ddots & \vdots \\ 0 & \cdots & a_{J-3}^i & b_{J-3}^i & c_{J-3}^i & 0 \\ 0 & \cdots & 0 & a_{J-2}^i & b_{J-2}^i & c_{J-2}^i \\ 0 & \cdots & 0 & 0 & a_{J-1}^i & b_{J-1}^i \end{bmatrix} \begin{bmatrix} V_1^i \\ V_2^i \\ V_3^i \\ \vdots \\ V_{J-3}^i \\ V_{J-2}^i \\ V_{J-1}^i \end{bmatrix} + \begin{bmatrix} d_1^i & c_1^i & 0 & 0 & \cdots & 0 \\ a_2^i & d_2^i & c_2^i & 0 & \cdots & 0 \\ 0 & a_3^i & d_3^i & c_3^i & \cdots & 0 \\ \vdots & \vdots & \vdots & \vdots & \ddots & \vdots \\ 0 & \cdots & a_{J-3}^i & d_{J-3}^i & c_{J-3}^i & 0 \\ 0 & \cdots & 0 & a_{J-2}^i & d_{J-2}^i & c_{J-2}^i \\ 0 & \cdots & 0 & 0 & a_{J-1}^i & d_{J-1}^i \end{bmatrix} \begin{bmatrix} V_1^{i+1} \\ V_2^{i+1} \\ V_3^{i+1} \\ \vdots \\ V_{J-3}^{i+1} \\ V_{J-2}^{i+1} \\ V_{J-1}^{i+1} \end{bmatrix} + \begin{bmatrix} \pi_1^i \\ \pi_2^i \\ \pi_3^i \\ \vdots \\ \pi_{J-3}^i \\ \pi_{J-2}^i \\ \pi_{J-1}^i \end{bmatrix} = \begin{bmatrix} 0 \\ 0 \\ 0 \\ \vdots \\ 0 \\ 0 \\ 0 \end{bmatrix}$$

$L_n^i (J \times J \text{ 次元}) \quad (J \text{ 次元}) \quad M_n^i (J \times J \text{ 次元}) \quad (J \text{ 次元}) \quad (\text{J 次元}) \quad (J \text{ 次元})$

行列内の要素  
 $a_j^i = -\frac{\alpha_j^i}{4\Delta P} + \frac{(\sigma_j^i)^2}{4(\Delta P)^2}$

$b_j^i = -\frac{1}{\Delta T} + \frac{(\sigma_j^i)^2}{2(\Delta P)^2} - r,$

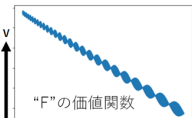
$c_j^i = \frac{\alpha_j^i}{4\Delta P} + \frac{(\sigma_j^i)^2}{4(\Delta P)^2}$

$d_j^i = \frac{1}{\Delta T} + \frac{(\sigma_j^i)^2}{2(\Delta P)^2}$

$L^i \begin{bmatrix} V_1^i \\ V_2^i \\ V_3^i \\ \vdots \\ V_{J-3}^i \\ V_{J-2}^i \\ V_{J-1}^i \end{bmatrix} + M^i \begin{bmatrix} V_1^{i+1} \\ V_2^{i+1} \\ V_3^{i+1} \\ \vdots \\ V_{J-3}^{i+1} \\ V_{J-2}^{i+1} \\ V_{J-1}^{i+1} \end{bmatrix} + \pi^i = 0$

(終端条件)  
 $V_n^i := \max \left[ F_n, \max_{m \in O(n)} \{ V_m^i - \mathbf{1} C_{n,m} \} \right];$

$\leftarrow i = I \text{ から } i = 0;$   
 後ろから  $V^i$  求められる



"F" の価値関数

# (1) 終端アクティビティ" F" の価値導出 (本手順)

16/28

## Crank-Nicholson 法による差分化再現

- 自分で導出して原因確認

$$\frac{\partial V(t, P)}{\partial t} + \alpha(t, P) \frac{\partial V(t, P)}{\partial P} + \frac{1}{2} \{\sigma(t, P)\}^2 \frac{\partial^2 V(t, P)}{\partial P^2} - rV(t, P) + \pi(t, P) = 0$$

 差分化 (Crank-Nicolson法)

$$\frac{V_j^{i+1} - V_j^i}{\Delta T} + \frac{1}{2} \alpha_j^i \left( \frac{V_{j+1}^i - V_{j-1}^i}{2\Delta P} + \frac{V_{j+1}^{i+1} - V_{j-1}^{i+1}}{2\Delta P} \right) + \frac{1}{2} \frac{(\sigma_j^i)^2}{2} \left( \frac{V_{j+1}^i - 2V_j^i + V_{j-1}^i}{(\Delta P)^2} + \frac{V_{j+1}^{i+1} - 2V_j^{i+1} + V_{j-1}^{i+1}}{(\Delta P)^2} \right) - \frac{1}{2} r \left( V_j^i + V_j^{i+1} \right) + \pi_j^i = 0$$

$$\left( -\frac{\alpha_j^i}{4\Delta P} + \frac{(\sigma_j^i)^2}{4(\Delta P)^2} \right) V_{j-1}^i + \left( -\frac{1}{\Delta T} - \frac{(\sigma_j^i)^2}{2(\Delta P)^2} - \frac{1}{2} r \right) V_j^i + \left( \frac{\alpha_j^i}{4\Delta P} + \frac{(\sigma_j^i)^2}{4(\Delta P)^2} \right) V_{j+1}^i + \left( -\frac{\alpha_j^i}{4\Delta P} + \frac{(\sigma_j^i)^2}{4(\Delta P)^2} \right) V_{j-1}^{i+1} + \left( \frac{1}{\Delta T} - \frac{(\sigma_j^i)^2}{2(\Delta P)^2} - \frac{1}{2} r \right) V_j^{i+1} + \left( \frac{\alpha_j^i}{4\Delta P} + \frac{(\sigma_j^i)^2}{4(\Delta P)^2} \right) V_{j+1}^{i+1} + \pi_j^i = 0$$

$a_j^i = -\frac{\alpha^i j}{4\Delta P} + \frac{(\sigma^i j)^2}{4(\Delta P)^2}$	$c_j^i = \frac{\alpha_j^i}{4\Delta P} + \frac{(\sigma_j^i)^2}{4(\Delta P)^2}$
$b_j^i = -\frac{1}{\Delta T} - \frac{(\sigma_j^i)^2}{2(\Delta P)^2} - \frac{1}{2} r$	$d_j^i = \frac{1}{\Delta T} - \frac{(\sigma_j^i)^2}{2(\Delta P)^2} - \frac{1}{2} r$

研究概要

意思決定モデル

進捗状況

結果

今後の予定

評価関数の推定

## (1) 終端アクティビティ" F" の価値導出 (本手順)

17/28

### Crank-Nicholson 法による差分化再現 2



$$a_j^i V_{j-1}^i + b_j^i V_j^i + c_j^i V_{j+1}^i + a_j^i V_{j-1}^{i+1} + d_j^i V_j^{i+1} + c_j^i V_{j+1}^{i+1} + \pi_j^i = 0$$

$a_j^i V_{j-1}^i + b_j^i V_j^i + c_j^i V_{j+1}^i$  について  $j = 1$  から  $j = J - 1$  まで展開

$$j = 1 \quad a_1^i V_0^i + b_1^i V_1^i + c_1^i V_2^i$$

$$j = 2 \quad a_2^i V_1^i + b_2^i V_2^i + c_2^i V_3^i$$

$$j = 3 \quad a_3^i V_2^i + b_3^i V_3^i + c_3^i V_4^i$$

⋮

⋮

$$j = J - 3 \quad a_{J-3}^i V_{J-4}^i + b_{J-3}^i V_{J-3}^i + c_{J-3}^i V_{J-2}^i$$

$$j = J - 2 \quad a_{J-2}^i V_{J-3}^i + b_{J-2}^i V_{J-2}^i + c_{J-2}^i V_{J-1}^i$$

$$j = J - 1 \quad a_{J-1}^i V_{J-2}^i + b_{J-1}^i V_{J-1}^i + c_{J-1}^i V_J^i$$

研究概要

意思決定モデル

進捗状況

結果

今後の予定

評価関数の推定

# (1) 終端アクティビティ" F" の価値導出 (本手順)

18/28

## Crank-Nicholson 法による差分化再現 3



同様の  $V_j^i$  をまとめることで行列化

for  $j$  in  $(1 \leq j \leq J-1)$

$$a_j^i V_{j-1}^i + b_j^i V_j^i + c_j^i V_{j+1}^i =$$

※ (37) 式 第 4 項以降も同様に展開

$$\begin{bmatrix} b_1^i & c_1^i & 0 & 0 & \cdots & 0 \\ a_2^i & b_2^i & c_2^i & 0 & \cdots & 0 \\ 0 & a_3^i & b_3^i & c_3^i & \cdots & 0 \\ \vdots & \vdots & \vdots & \vdots & \ddots & \vdots \\ 0 & \cdots & a_{J-3}^i & b_{J-3}^i & c_{J-3}^i & 0 \\ 0 & \cdots & 0 & a_{J-2}^i & b_{J-2}^i & c_{J-2}^i \\ 0 & \cdots & 0 & 0 & a_{J-1}^i & b_{J-1}^i \end{bmatrix} \begin{bmatrix} V_1^i \\ V_2^i \\ V_3^i \\ \vdots \\ V_{J-3}^i \\ V_{J-2}^i \\ V_{J-1}^i \end{bmatrix} = \begin{bmatrix} a_1^i V_0^i \\ 0 \\ 0 \\ \vdots \\ 0 \\ V_{J-3}^i \\ V_{J-2}^i \\ V_{J-1}^i \end{bmatrix}$$

まとめると以下の式に

$$\begin{bmatrix} b_1^i & c_1^i & 0 & 0 & \cdots & 0 \\ a_2^i & b_2^i & c_2^i & 0 & \cdots & 0 \\ 0 & a_3^i & b_3^i & c_3^i & \cdots & 0 \\ \vdots & \vdots & \vdots & \vdots & \ddots & \vdots \\ 0 & \cdots & a_{J-3}^i & b_{J-3}^i & c_{J-3}^i & 0 \\ 0 & \cdots & 0 & a_{J-2}^i & b_{J-2}^i & c_{J-2}^i \\ 0 & \cdots & 0 & 0 & a_{J-1}^i & b_{J-1}^i \end{bmatrix} \begin{bmatrix} V_1^i \\ V_2^i \\ V_3^i \\ \vdots \\ V_{J-3}^i \\ V_{J-2}^i \\ V_{J-1}^i \end{bmatrix} = \begin{bmatrix} a_1^i V_0^i \\ 0 \\ 0 \\ \vdots \\ 0 \\ V_{J-3}^i \\ V_{J-2}^i \\ V_{J-1}^i \end{bmatrix}$$

$$a_j^i V_{j-1}^i + b_j^i V_j^i + c_j^i V_{j+1}^i$$

$$a_j^i V_{j-1}^{i+1} + d_j^i V_j^{i+1} + c_j^i V_{j+1}^{i+1}$$

研究概要

意思決定モデル

進捗状況

結果

今後の予定

評価関数の推定

# (1) 終端アクティビティ" F" の価値導出 (本手順)

19/28

## 原因と思われる要因

行列  $L, M$  の要素が論文と異なった

研究概要

意思決定モデル

進捗状況

結果

今後の予定

評価関数の推定

論文の要素	自分で導出した要素
$a_j^i = -\frac{\alpha_j^i}{4\Delta P} + \frac{(\sigma_j^i)^2}{4(\Delta P)^2}$	$a_j^i = -\frac{\alpha_j^i}{4\Delta P} + \frac{(\sigma_j^i)^2}{4(\Delta P)^2}$
$b_j^i = -\frac{1}{\Delta T} + \frac{(\sigma_j^i)^2}{2(\Delta P)^2} - r$	$b_j^i = -\frac{1}{\Delta T} - \frac{(\sigma_j^i)^2}{2(\Delta P)^2} - \frac{1}{2}r$
$c_j^i = \frac{\alpha_j^i}{4\Delta P} + \frac{(\sigma_j^i)^2}{4(\Delta P)^2}$	$c_j^i = \frac{\alpha_j^i}{4\Delta P} + \frac{(\sigma_j^i)^2}{4(\Delta P)^2}$
$d_j^i = \frac{1}{\Delta T} + \frac{(\sigma_j^i)^2}{2(\Delta P)^2}$	$d_j^i = \frac{1}{\Delta T} - \frac{(\sigma_j^i)^2}{2(\Delta P)^2} - \frac{1}{2}r$

危惧 III

$L, M$  に影響

$$L^i = \begin{bmatrix} b_1^i & c_1^i & 0 & 0 & \cdots & 0 \\ a_2^i & b_2^i & c_2^i & 0 & \cdots & 0 \\ 0 & a_3^i & b_3^i & c_3^i & \cdots & 0 \\ \vdots & \vdots & \vdots & \vdots & \ddots & \vdots \\ 0 & \cdots & a_{J-3}^i & b_{J-3}^i & c_{J-3}^i & 0 \\ 0 & \cdots & 0 & a_{J-2}^i & b_{J-2}^i & c_{J-2}^i \\ 0 & \cdots & 0 & 0 & a_{J-1}^i & b_{J-1}^i \end{bmatrix} \quad M^i = \begin{bmatrix} d_1^i & c_1^i & 0 & 0 & \cdots & 0 \\ a_2^i & d_2^i & c_2^i & 0 & \cdots & 0 \\ 0 & a_3^i & d_3^i & c_3^i & \cdots & 0 \\ \vdots & \vdots & \vdots & \vdots & \ddots & \vdots \\ 0 & \cdots & a_{J-3}^i & d_{J-3}^i & c_{J-3}^i & 0 \\ 0 & \cdots & 0 & a_{J-2}^i & d_{J-2}^i & c_{J-2}^i \\ 0 & \cdots & 0 & 0 & a_{J-1}^i & d_{J-1}^i \end{bmatrix}$$

# (1) 終端アクティビティ "F" の価値導出 (本手順)

20/28

## 懸念事項

- 別の項が含まれるため、簡単に  $\mathbf{V}^i$  を求められない
- 0** とみなし、論文と同じ形で計算

$$\begin{array}{c}
 \boxed{\text{論文}} \quad \boxed{\text{方程式}} \\
 \mathbf{L}^i \begin{bmatrix} V_1^i \\ V_2^i \\ V_3^i \\ \vdots \\ V_{J-3}^i \\ V_{J-2}^i \\ V_{J-1}^i \end{bmatrix} + \mathbf{M}^i \begin{bmatrix} V_1^{i+1} \\ V_2^{i+1} \\ V_3^{i+1} \\ \vdots \\ V_{J-3}^{i+1} \\ V_{J-2}^{i+1} \\ V_{J-1}^{i+1} \end{bmatrix} + \boldsymbol{\pi}^i = \mathbf{0}
 \end{array}$$

**危惧 IV**  
 $\mathbf{=0}$  として計算

## 危惧 V

- 終端条件の  $\mathbf{F}_n$  の設定値 明記なし
- サイクル構造 (3) では計算不可

### (終端条件)

$$V_n^i := \max \left[ F_n, \max_{m \in O(n)} \{ V_m^i - 1C_{n,m} \} \right];$$

$$\begin{array}{c}
 \boxed{\text{自分で}} \quad \boxed{\text{導出した式}} \\
 \mathbf{L}^i \begin{bmatrix} V_1^i \\ V_2^i \\ V_3^i \\ \vdots \\ V_{J-3}^i \\ V_{J-2}^i \\ V_{J-1}^i \end{bmatrix} + \begin{bmatrix} a_1^i V_0^i \\ 0 \\ 0 \\ \vdots \\ 0 \\ 0 \\ c_{J-1}^i V_J^i \end{bmatrix} + \mathbf{M}^i \begin{bmatrix} V_1^{i+1} \\ V_2^{i+1} \\ V_3^{i+1} \\ \vdots \\ V_{J-3}^{i+1} \\ V_{J-2}^{i+1} \\ V_{J-1}^{i+1} \end{bmatrix} + \begin{bmatrix} a_1^{i+1} V_0^{i+1} \\ 0 \\ 0 \\ \vdots \\ 0 \\ 0 \\ c_{J-1}^{i+1} V_J^{i+1} \end{bmatrix} + \boldsymbol{\pi}^i = \mathbf{0}
 \end{array}$$

求めるもの

## (1) 終端アクティビティ "F" の価値導出 (本手順)

21/28

### $V_F$ 計算結果

- (全ての時間  $i$  で) 曲線にはなったので、現状これで進む

研究概要

意思決定モデル

進捗状況

結果

今後の予定

評価関数の推定

```
for i in range(I-1):
    # 終端アクティビティ F の価値計算
    i_rev = I-1-i
    act_now["F"][i_rev-1,:] = ( -np.linalg.inv(L[i_rev-1])
    | @ (M[i_rev-1] @ act_now["F"][i_rev,:].T + act_pi["F"][i_rev-1,:].T) ).T
```

$V_F^i$



$V_{J-1}^i$

$V_{J-2}^i$

$V_{J-3}^i$

:

$V_3^i$

$V_2^i$

$V_1^i$

0.30

0.25

0.20

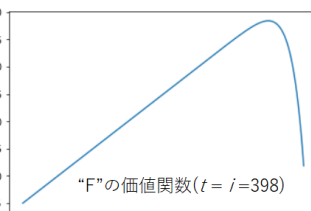
0.15

0.10

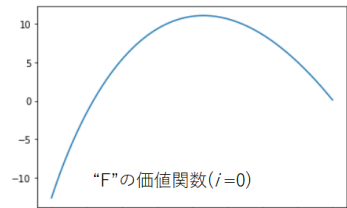
0.05

0.00

-0.05



"F"の価値関数( $t = i=398$ )



"F"の価値関数( $i=0$ )

$P_1, P_2, P_3, \dots, P_{J-3}, P_{J-2}, P_{J-1}$

$P^j$

## Merit 関数による解の更新<sup>5</sup>

- 最適  $\mathbf{X}_n^i$  を求めることで、(※) から  $\mathbf{V}_n^i$  が求められる

研究概要

意思決定モデル

進捗状況

結果

今後の予定

評価関数の推定

[NCP<sup>i</sup>-c] Find  $\mathbf{X}_c^i$  such that 【求めたいもの】

$$\mathbf{X}_c^i \cdot \mathbf{G}_c^i(\mathbf{X}_c^i) = 0, \quad \text{and} \quad \mathbf{X}_c^i \geq \mathbf{0}, \quad \mathbf{G}_c^i(\mathbf{X}_c^i) \geq \mathbf{0}.$$

[Alg-Merit]

導出アルゴリズム(論文記述)

Step 0 初期可能解  $\mathbf{X}_c^{i(1)} \in \mathcal{R}_+$ ,  $k := 1$ .

Step 1 降下方向ベクトルの決定.

$$\mathbf{d}^{(k)} := \mathbf{H}(\mathbf{X}_c^{i(k)}). \quad (34)$$

Step 2 ステップ・サイズ  $\alpha$  を、以下の一次元探索問題の解として求める.

$$\alpha^* = \arg \min_{\alpha \in [0,1]} \Phi(\mathbf{X}_c^{i(k)} + \alpha \mathbf{d}^{(k)}). \quad (35)$$

Step 3 解の改訂.  $\mathbf{X}_c^{i(k+1)} := \mathbf{X}_c^{i(k)} + \alpha^* \mathbf{d}^{(k)}$

Step 4 収束判定: 収束していれば停止、そうでなければ  $k := k + 1$  として Step 1 へ.

$$\alpha \in [0, 1]$$

$$\alpha = \frac{i}{1000}, \left( \frac{1}{1000}, \frac{2}{1000}, \dots, \frac{1000}{1000} \right)$$

### 【論文解釈】

$\mathbf{G}(\mathbf{X}_c^i)$  を求める処理

$$\mathbf{L}_n^i \mathbf{V}_n^{i(k)} = -\mathbf{X}_n^{i(k)} - \mathbf{M}_n^i \mathbf{V}_n^{i+1} - \boldsymbol{\pi}_n^i \quad ----- \quad (※)$$

$$\begin{aligned} \mathbf{G}_n^{i(k)} := \min \left[ \min_{m \in O_c(n)} \left\{ \mathbf{V}_n^{i(k)} - \mathbf{V}_m^{i(k)} - \mathbf{1} \mathbf{C}_{n,m} \right\}, \right. \\ \left. \min_{m' \in \tilde{O}_c(n)} \left\{ \mathbf{V}_n^{i(k)} - \mathbf{V}_{m'}^{i(k)} - \mathbf{1} \mathbf{C}_{n,m'} \right\} \right], \quad \forall n \in N_c. \end{aligned}$$

Step1:  $\mathbf{H}(\mathbf{X}_c^i)$  を求める処理

$$\mathbf{H}(\mathbf{X}_c^i) \equiv \left[ \mathbf{X}_c^i - \mathbf{G}(\mathbf{X}_c^i) \right]_+ - \mathbf{X}_c^i$$

Step2:  $\Phi(\mathbf{X}_c^i)$  を求める処理

$$\Phi(\mathbf{X}_c^i) \equiv -\mathbf{G}(\mathbf{X}_c^i) \cdot \mathbf{H}(\mathbf{X}_c^i) - \frac{1}{2} \mathbf{H}(\mathbf{X}_c^i) \cdot \mathbf{H}(\mathbf{X}_c^i)$$

1000 通りの  $\Phi(\mathbf{X}_c^{i(k)} + \alpha \mathbf{d}^{(k)})$  計算

Step3:

最小の  $(\mathbf{X}_c^{i(k)} + \alpha \mathbf{d}^{(k)})$  を  $\mathbf{X}_c^{i(k+1)}$  に代入

<sup>5</sup>Fukushima., 1992.

## (2-1) アクティビティ"P" の価値導出

23/28

### $V_P$ 計算結果

- 解  $\mathbf{X}_P^i$  の収束が遅い (常に  $\alpha^* = 1$  が選ばれる)
  - $\mathbf{G}(\mathbf{X}_P^i)$ : 負→正に徐々に増加
  - $\mathbf{X}_P^i$  の更新量も徐々に減少

#### Merit関数 本処理(Python)

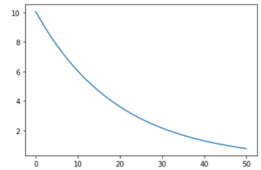
```
#vpを求める本処理
k = 1
isExist = True
while isExist: # Xn_ikが更新される限りkを回す
    ##### Step1 #####
    d_k = np.maximum(Xn_ik - getGxFromViForNc(Xn_ik, "P"),
                     np.matrix(np.full((1,1), 0)), dtype='float') - Xn_ik
    ##### Step2 #####
    phi = []
    ss = 1000 # 10の分母
    for s in range(ss + 1):
        Xn_re = Xn_ik + (s / ss) * d_k
        G_x = getGxFromViForNc(Xn_re, "P")
        H_x = np.maximum(Xn_re - G_x, np.matrix(np.full((1,1), 0))) - Xn_re
        phi0 = -G_x @ H_x.T - (1 / 2) * H_x @ H_x.T
        phi.append(phi0[0,0])
    phi = np.argmin(phi)
    ##### Step3 #####
    Xn_ik_re = Xn_ik + (phi / ss) * d_k
    ##### Step4 #####
    if (Xn_ik_re == Xn_ik).any():
        isExist = False # 収束したので終止
    else:
        k = k + 1
        Xn_ik = Xn_ik_re
```

$\mathbf{X}_P^{i(k)}$  (400 次元) ( $i = J - 1$  のとき)

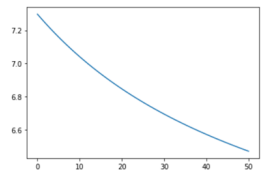
後ろの要素ほど収束遅い

$\rightarrow \alpha = i/10000$  (計算量大) にしないと収束しそうにない

k更新速度: 約12秒/回



$\mathbf{X}_P^{i(k)}$  (0番目) の収束状況 (k = 50まで)



$\mathbf{X}_P^{i(k)}$  (399番目) の収束状況

# 結果の分析

24/28

## 収束しない(遅い)原因分析

- 懸念事項(危惧I~V)が引き金の可能性

研究概要

意思決定モデル

進捗状況

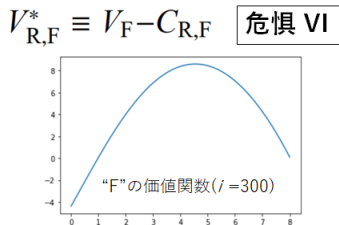
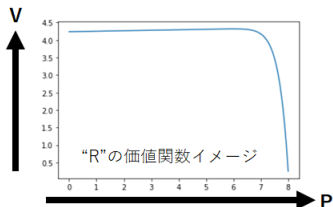
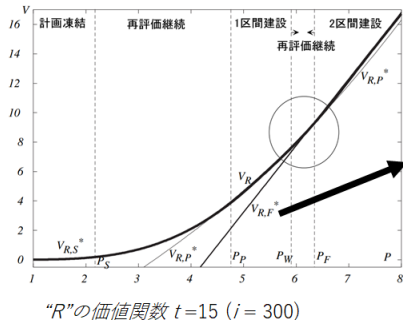
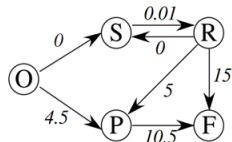
結果

今後の予定

評価関数の推定

## 危惧 VI

- 接線が引けない (形にならない)



# 今後の予定

26/28

## 今後の予定

- オプショングラフのもとになった金融理論を勉強する
- 評価関数推定部分の手法検討

研究概要

意思決定モデル

進捗状況

結果

今後の予定

評価関数の推定

## ロボットの起き上がり運動獲得のための 正規化ガウス関数ネットワーク (NGnet) を用いた Actor-critic 強化学習<sup>6</sup>

研究概要

意思決定モデル

進捗状況

結果

今後の予定

評価関数の推定

### 研究概要

「目標出力  $y(t)$  メートルまで頭が上がるように関節を動かす」ように学習させる

- ロボットは目標出力に達するように最適な「関節の動き」を探る
- 推定評価関数 = 「この動きをすれば目標出力に達する」と考えた自己評価の集約  
→ この関数を最適化するような行動を行う

#### (1) 終端 "F" の価値の導出

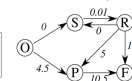
線形偏微分方程式

$$\mathcal{L}_n V_n(t, P) + \pi_n(t, P) = 0$$

終端条件:  $V_n(T, P(T)) = F_n(P(T))$

$$\text{偏微分作用素: } \mathcal{L}_n = \frac{\partial}{\partial t} + \frac{\partial}{\partial P} \alpha_n(t, P) + \frac{1}{2} \frac{\partial^2}{\partial P^2} \{\sigma_n(t, P)\}^2 - r$$

アクティビティ  $i$ :  $n \in \{O, S, R, P, F\}$



偏微分方程式の差分化

$$\mathcal{L}_n V_n(t^i, P^j) \approx \mathcal{L}_n^i V_n^i + M_n^i V_n^{i+1}$$

$$(t, P) \simeq (t^i, P^j) = (i\Delta T, P_0 + j\Delta P) \quad (i = 0, 1, \dots, I) \quad (j = 0, 1, \dots, J)$$

$$I = J = 1000$$

$$\Delta T = \frac{20}{1000}, \quad \Delta P = \frac{5}{1000}$$

: 格子間隔

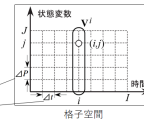


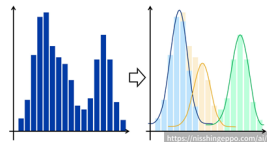
図 1: 推定評価関数と実際の行動

<sup>6</sup>森本, 銅谷., 1999.

# 評価関数の推定

## 評価関数推定の概要

研究概要  
意思決定モデル  
進捗状況  
結果  
今後の予定  
評価関数の推定



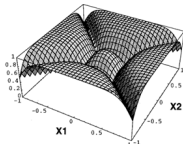
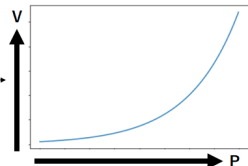
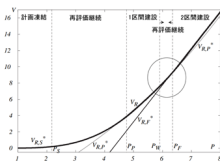
$$y(\mathbf{x}) = \sum_{k=1}^K w_k b_k(\mathbf{x})$$

基底関数

### (1) 関数の設定

利潤:  $\pi_n(t, P)$ , 推移コスト:  $C_{n,m(t)}$   
 $\rightarrow b_{1,k}(\mathbf{x}) \quad b_{2,k}(\mathbf{x})$

### (2) アクティビティ価値導出アルゴリズム (前々ページ)



### (5) 評価関数の出力

(3)  $\epsilon$ が最小になるように  $w_k$  を更新

(4) (1)～(3)を指定回数だけ繰り返す